



تحليل الأجهادات المرنة في الدرافيل أثناء عملية الدرفلة الباردة باستخدام طريقة العناصر المحددة

الدكتور نبيل كاظم عبد الصاحب

قسم الهندسة الميكانيكية

جامعة بغداد

الخلاصة

يتضمن البحث طبيعة توزيع اجهادات التماس خلال عملية الدرفلة المتماثلة باستخدام أسلوب العناصر المحددة على الدرافيل. أعطت النتائج صورة واضحة لطبيعة توزيع كل من الأجهاد العمودي (Normal Stress) واجهاد القص (Shear stress) على طول قوس التماس للدرافيلين العاملين على نسبة عمق شعاعي ($\frac{r}{R}$) مقداره (0.4, 0.7, 1.0, 7) ، وكذلك دراسة مقدار التشوه الحاصل في تلك المناطق ومن ثم تحديد مناطق توزيع وتمرز الأجهادات وقيمة أعظم أجهاد وموقعها في الدرافيل

STRESS ANALYSIS OF THE ROLLERS DURING COLD ROLLING BY USING FINITE ELEMENT METHOD

Dr- Nabeel Kadim Abid Al-Sahib
Mechanical Engineering Department
University of Baghdad

ABSTRACT

This work deals with the determination of contact stress distribution during symmetrical rolling processes using the finite element method (FEM).

The results give a clear idea for the type of distribution of the normal and shear stresses along the arc of contact , for the rollers with a radial depth ratio ($\frac{r}{R}$) equal to (1,0.7, 0.4) .

A study of the deformation induced in the region of maximum shear stress together with the location of stress concentration and the maximum stress was achieved.

الكلمات الرئيسية

اجهاد ، درفلة ، تصنيع

المقدمة

أن البحث والتطوير في خصوصيات عمليات الدرفلة لها أهمية اقتصادية وصناعية من حيث تحسين الدقة والخواص الفيزيائية والميكانيكية للمواد المنتجة ، والوصول إلى أفضل التصاميم الخاصة بمكائن الدرفلة والتي تحقق كفاءة أداء عالية ، وعمر أطول للدرفل ، الذي يعتبر من أهم أجزاء هذه الماكينة واكثرها أثراً على تفاصيل العملية .

وبشكل عام فقد جرت دراسة نظرية وبحوث مختبرية عديدة من قبل باحثين في موضوع الدرفلة ، منطلقين في حماولاتهم من السلوك الفيزياوي والميكانيكي للمادة المدرفلة بغية التوصل إلى حل مقبول لنظرية الدرفلة .

الدرفلة على البارد

عندما تكون درجة حرارة المادة المدرفلة ، أشقاء درفلتها ، أقل من درجة حرارة إعادة بلورتها، فإن هذه العملية تسمى بالدرفلة على البارد وقد تناول العديد من الباحثين الدرفلة على البارد من الناحية النظرية كما موضح بالشكل (1) على التوالي ومن بين أهم البحوث التي جرت لدراسة نظرية الدرفلة ، هي أعمال الباحثان (Siebel 1924, 1925) و (Karman 1925) فقد قدم الباحث (Siebel) نظرية تعرف الان بنظرية تل الاحتكاك (Friction - Hill) والتي اعتمد فيها الافتراضات التالية :-

- $S=q$ باعتبار زاوية التماس صغيرة
- $q=K= \text{Constant}$ أي أهمال تأثير تراكم الضغط على تل الاحتكاك
- أما (Karman) فقد اتخذ في تحليلاته نفس طريقة (Siebel) غير انه لم يفترض تساوي الكميتين (q) و (S) بل اعتمد المعادلة التالية :-

$$q-p=K \quad (1)$$

وبذلك ادخل تأثير تراكم الضغط في حساباته معتبراً (K) ثابتاً خلال مرور المادة بين الدرفلين ، وقد اعطت نتائج (Seibel) قيمة عظمى للضغط تقل كثيراً عن تلك التي حصل عليها كل من (Orowan) و (Karman) عند ظروف متماثلة لعملية الدرفلة ، كما هو واضح في الشكل رقم (2) .

وقد قام الباحثان (Bland & Ford) بتبسيط طريقة (Orowan) البيانية المتمثلة بالمعادلة .

$$\frac{df}{d\phi} = 2R\left(\frac{F}{h} + K\right) \cos \phi \tan(\phi + \beta) \quad (2)$$



مع اعتماد نفس الأفتراضات التي اعتمدتها (Siebel) أعلاه ، والمتتمثلة في ($S = q$) و ($K = \text{Constant}$) فأوضح أنه نظراً لصغر زاوية التماس فإن :

$$1 - \cos \phi = \frac{\phi^2}{2} \quad \cos \phi = 1 \quad \sin \phi = \phi$$

وحصلنا على معادلات توزيع ضغط التماس العمودي على طول قوس التماس وكما يلي :

١- بين نقطة الخروج ونقطة التعادل

$$S^+ = \frac{kh}{h2} e^{\mu H} \quad (3)$$

٢- بين نقطة الدخول ونقطة التعادل

$$S^- = \frac{Kh}{h1} e^{\mu(H1-H)} \quad (4)$$

حيث (H) مقدار يعرف بالمعادلة :-

$$H = 2\sqrt{\frac{R^-}{h2}} \tan^{-1}\left(\sqrt{\frac{R^-}{h1}} \phi\right) \quad (a)$$

- (H1) مقدار يعرف بالمعادلة :-

$$H1 = 2\sqrt{\frac{R^-}{h1}} \tan^{-1}\left(\sqrt{\frac{r^-}{h1}} \phi\right) \quad (b)$$

حيث (h1) و (h2) تمثلان سمك المادة المدرفلة عند الدخول والخروج على التوالي

(R^-) نصف قطر قوس التماس المسطح

(S^+) و (S^-) تمثلان ضغط التماس العمودي عند منطقتين الخروج والدخول ، على التوالي .

ومن تساوي المعادلتين (3) و (4) يمكن إيجاد نقطة التعادل . أما من الناحية العملية فقد انجزت العديد من المحاوالت لقياس وتوزيع ضغط التماس في عملية الدرفلة على البارد ، فقد قام الباحثان (Siebel & Lueg) بقياس توزيع الضغط على أمتداد قوس التماس ، وكذلك باتجاه العرض مستخدمين في ذلك محول الطاقة (Transducer) يتكون من مسمار (Pin) محمل على بلورة كوارتز في ثقب قطري ، ويكون مستوى مع سطح الدرفل ، وحصلنا على نتائج تؤيد النظرية المبكرة التي حصل عليها كل من (Siebel) و (Karman) وأن الضغط في وسط الشريحة المدرفلة يكون عالياً ، ويقل عند الأقتراب من الحافات ، بسبب الابتعاد عن حالة الأنفعال المستوى ، وان زيادة خشونة سطح الدرفل تؤدي إلى زيادة في الضغط .

وقام الباحثون (AL-Salahi , Firbank & Lancaster) بأجراء تجارب عملية لقياس توزيع ضغط التماس خلال عملية الدرفلة على البارد ، بنفس الطريقة التي أتبعها (Siebel & Lueg) ، ولكن باسلوب تقني أكثر دقة وذلك باستخدام مسامير ذوي مقاسات صغيرة نسبياً ، ومتعادلين مع محور الدرفل ، أحدهما نصف قطرى

لقياس الضغط المتعامد مع سطح الدرافيل ، والآخر على أمتداد وتر في دائرة الدرافيل ، مائل مع المسار الأول بزاوية ، وذلك لقياس الضغط المائل عند سطح التماس وجاءت نتائجهم مماثلة لما تعطيه الدرفلة وقد لاحظوا في نتائجهم ، وجود أكثر من قيمة في منحني توزيع ضغط التماس كما في الشكل رقم (3) وقد جرى الباحثان (Venter & Abd-rabbo) دراسة حول الدرفلة غير المتجانسة ، أشارا إلى أن الأفتراضات التي وضعها الباحثون سابقاً كان الغرض منها تبسيط الحلول الرياضية ، غير أن ظهور الحاسبات الألكترونية المتطورة مكن من الحصول على حلول دقيقة دون افتراضات ، لذلك فقد تناول هذان الباحثان الدرفلة غير المتجانسة وأشارت نتائجهم إلى أن ضغط التماس في حالة التشكيل غير المتجانس أقل مما هو عليه في حالة أفتراض التشكيل المتجانس كما هو موضح في الشكل رقم (4) ، كما نلاحظ أن الفرق يزداد مع زيادة قيمة معامل الاحتكاك .

تسطيح الدرافيل

أن الدرافيلين العاملين يتعرضان إلى تشوه مرن بسبب الضغط على أمتداد قوسي تماسيهما مع المادة المدرفلة ، مما يؤثر على حسابات الدرفلة ، إذ يؤدي إلى زيادة طول قوسي التماس ، ويعتمد على القوة المسلطة وعزم الدرفلة . وقد تناول هذا الموضوع الباحث (Hitchcock) الذي أفترض أن توزيع الضغط على منطقة التماس يكون على شكل بيضوي ، وذلك باعتماد تأثير قوة الدرافيل على طول قوس التماس ، وهذا يعني ان التسطح هو زيادة في قطر قوس التماس .

وقد نهج الباحثان (Bland & Ford) نفس طريقة (Hitchcock) ولكن باسلوب أكثر تعقيداً ، وذلك باعتماد توزيع الضغط على قوس التماس بدلاً من قوة الدرفلة وكذلك اعتماد توزيع مقدر أزاحة نقاط قوس التماس باتجاه نصف قطري بدلاً من اعتماد مقدار طول قوس التماس .

أما الباحث (Orowan) فقد أوضح مختبرياً أن قوس التماس لا يكون دائرياً ، غير أنه يمكن تقريبه إلى قوس دائري إذا كان سطح الدرافيل قليلاً ، وبوجه خاص في حالة الدرفلة على الساخن حيث يكون التسطح قليلاً ويبقى قوس التماس دائرياً .

النموذج المستخدم للتحليل النظري

تم في هذا البحث دراسة طبيعة توزيع الأجهادات خلال عملية الدرفلة داخل أسطوانة الدرفلة باستخدام العناصر المحددة ، وكذلك تحديد مقدار التشوه الحاصل في السطح وقيمة وموقع الأجهاد الأعظم في الدرافيل .

ففي هذه الدراسة تم استخدام الطريقة العددية (FEM) لأجل حساب الأجهادات والتشوهات والانفعالات المرننة على السطح وداخل الدرافيل المعرض لضغط تل الاحتكاك (Friction – Hill) المبين في الشكل رقم (4)



الشكل رقم (5) يوضح تقسيم (تجزئة) الأسطوانة من أجل الدراسة بواسطة FEM حيث استخدمت عناصر ثلاثة الأبعاد (FEM 3-D) وكان العنصر الثلاثي الأبعاد من نوع (Penta and Hexa Elements) وذلك بالاستعانة بالبرنامج (PAL2).

وأجل الحصول على دقة عالية في دراسة الاجهادات في منطقة تسلط الضغط ، تم تقسيمها إلى عدد أكبر من العناصر (Fine Mesh) حيث أن التشوه يكون أعظم ما يمكن في تلك المنطقة كما موضح في الشكل رقم (5).

النتائج والمناقشة

الأشكال المرقمة (6,7,8) تبين العلاقة بين التشوهات والزاوية المحيطة للدرفليل عند نسبة أنصاف أقطار ($\frac{r}{R} = 1, 0.7, 0.4$) ولدرافيل بانصاف أقطار (0.5, 0.3, 0.15) على التوالي .

في حالة نسبة الأقطار ($\frac{r}{R} = 1$) فهي تمثل التشوه الحاصل في السطح والذي يعطي دلالة واضحة على

ظاهرة السطح للدرفليل والذي يؤثر على عملية الدرفلة . الشكل (9) يبين العلاقة بين التشوه اللابعدي (dimensionless deformation) وزاوية الدرفليل ، حيث تطابقت النتائج بغض النظر عن نصف القطر (R) مما يؤيد التاسب بين ($\frac{\delta}{r}$) كنسبة لا بعدية للدرافيل عند ثبوت الضغط المسلط على الدرفليل ، أي عند

قيام الدرفلة لمادة معنية. أما الاجهاد المتولد خلال عملية الدرفلة مبين في الشكل رقم (10,11) على التوالي .

بعد دراسة الاجهادات خلال الأسطوانات بانصاف أقطار (0.5, 0.3, 0.15) وجد أن توزيع الاجهادات متباينة من حيث القيمة والتوزيع النسبي خلال مقطع الدرفليل . بالإضافة إلى ذلك تم أيجاد أعظم جهد عمودي وجهد قصي ، خلال مقطع الدرافيل ($\delta = 2.473 \times 10^8$) عند الموضع ($\theta = -1^\circ$) ، ($\frac{r}{R} = 0.55$) و

($\tau = 4.308 \times 10^5$) عند ($\theta = 90^\circ$) ، ($\frac{r}{R} = 0.85$) .

كما وضحت هذه الدراسة مناطق تساوي الاجهاد العمودي (Major stress contour) ومناطق تساوي اجهاد القص (Shear Stress contour) المبينة في الشكل (12,13) على التوالي ووضحت الدراسة مناطق التشوه الحاصلة في الدرافيل ذات الأقطار ($R = 0.5, 0.3, 0.15$) المبينة في الأشكال (14, 15, 16) على التوالي .

المصادر

D.R. Bland and Hugh Ford (1948) " The calculation of roll force and torque in cold strip rolling with tensions " Proc. Inst. Mech. Engrs. V. 159, P. 144

D. R. Bland (1950), " A theoretical investigation of roll flattening " Proc. Inst. Mech. Engrs .v. 163P141

E. Siebl and W. Lueg (1933) , " Investegation in the distribution of pressure at the surface of the material in contact with the rolls Mitt " Kw, Inst Elsenf, 15

E. Siebel (1924) " Berichte des walzwer sausschusses" Verien Deutscher eisnhu ttenlute , No. 37

E. Orewan (1943), " The calculation of roll pressure in hot and cold flat rolling " Proc. Inst . Mech. Engrs. V.150, P. 140

F.A.R. Al- Salehi , T.C. Firbank and P.R. Lancaster (1973), " An experimental determination of the roll pressure distribution in cold rolling " Int.J. Mech . SCI. V.15 , P693.

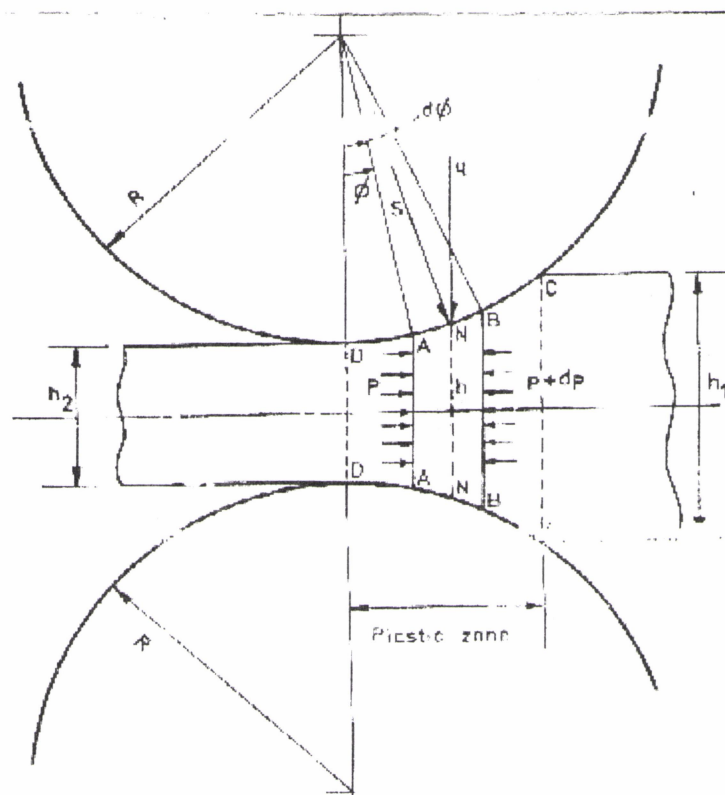
J.H. Hitchcock " roll neck bearing (1935) " reporet of A.S.M.E. reserch comitte on roll neck bearing

R- Venter and A-Abd-rabbo (1980), " Modelling of the rolling process – I in homogeneous deformation model " Int.J. Mech . SCI. V.22, P.83

T. Von Krman (1925) , " Beitrage zur theoric des walzuoranges " Z. angew , math Mech, v-s , p . 139

معاني الرموز المستخدمة ووحداتها

N/mm^2	ضغط قطري	S
N/mm^2	ضغط شاقولي	q
N/mm^2	أجهاد الخضوع	K
N/mm^2	أعظم أجهاد عمودي	δ
N/mm^2	قوة أفقية بالنسبة لوحدة العرض	F
mm	سمك الشريحة المدلفنة عند أي مقطع	H
Degree	زاوية التماس بالنسبة للمحور الشاقولي	ϕ
Degree	زاوية الأحتكاك	β
mm	سمك الشريحة المدلفلة عند الدخول	h_1
mm	سمك الشريحة المدلفلة عند الخروج	h_2
mm	نصف قطر قوس التماس المسطح	\bar{R}
---	نسبة العمق الشعاعي	$\frac{r}{R}$
N/mm^2	ضغط أفقي	P
mm	نصف قطر قبل التشوه	R



P : Horizontal pressure
q : Vertical pressure
N : Normal pressure
C - C : Entry plane
D - D : Exit plane
N - N : Neutral plane
 μ : Coefficient of friction

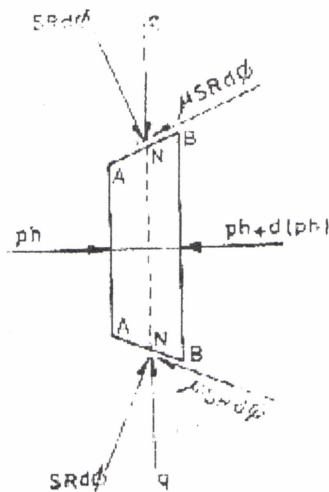


Fig. (1) The force and Stresses distribution for roller cylinder

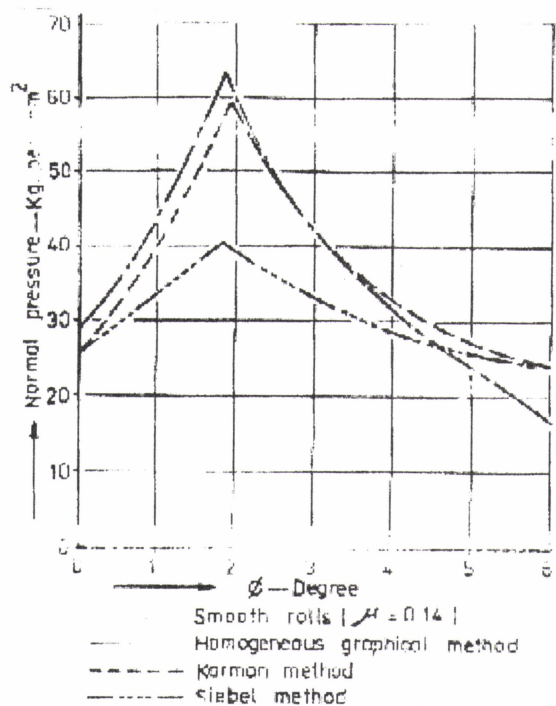


Fig. (2) contact pressure distribution (orowan)

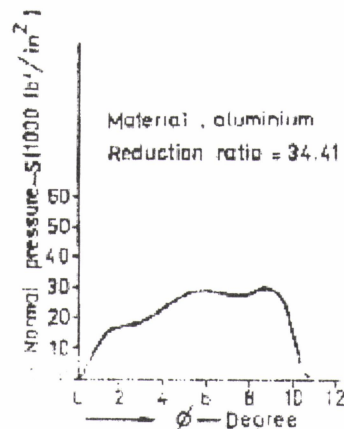


Fig.(3) contact pressure distribution
(Al Salehi , Pitbank and Lancaster)

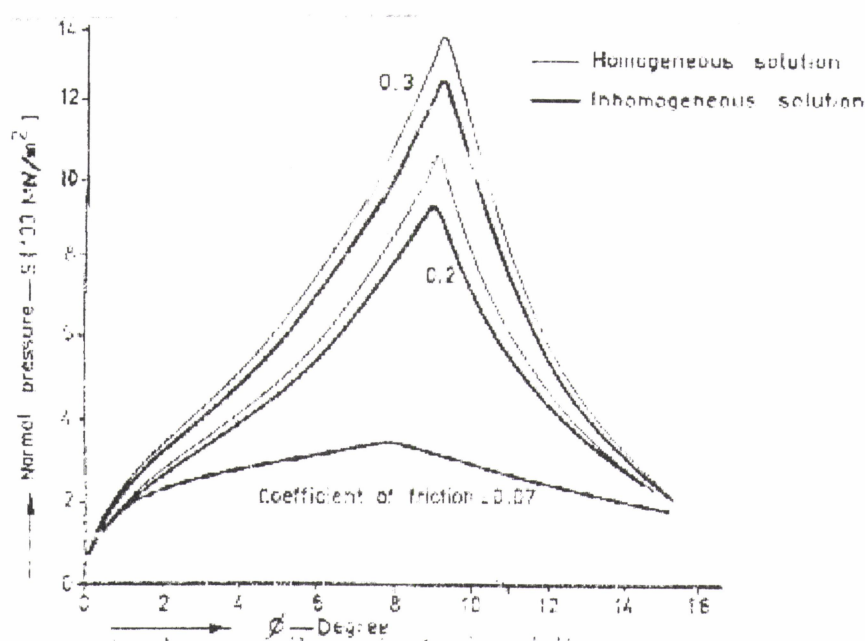


Fig.(4) the relation between normal pressure and the angle ϕ under different coefficient of friction

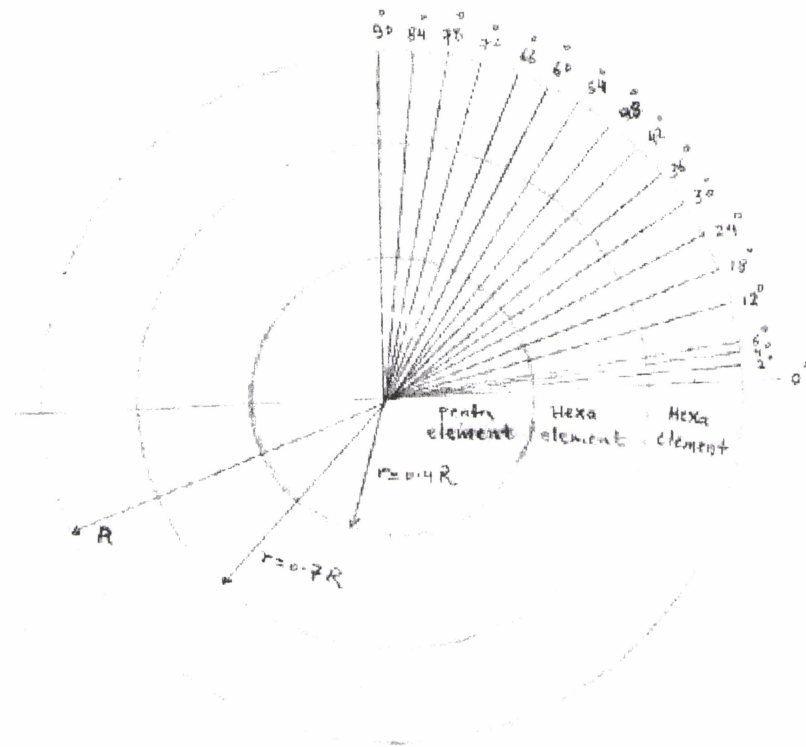


Fig.(5) finite element mesh

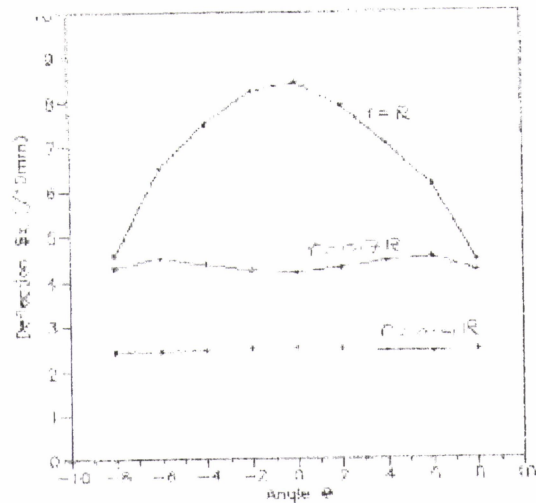


Fig. (6) the relation between deflection and the angle θ under different radial distance of the roller.
($R=0.5$)

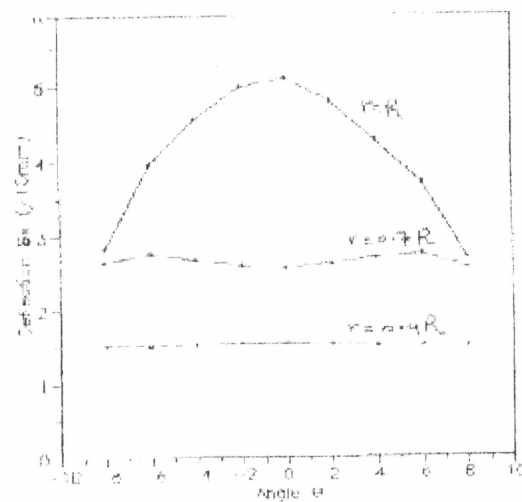


Fig. (7) the relation between deflection and the angle θ under different radial distance of the roller.
($R=0.3$)

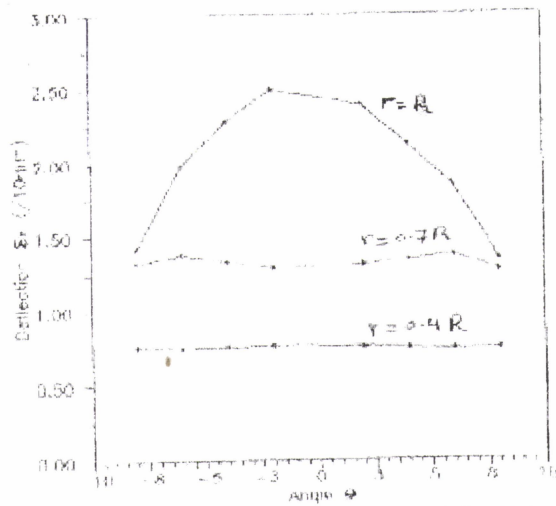


Fig. (8) the relation between deflection and the angle θ under different radial distance of the roller.
($R=0.15$)

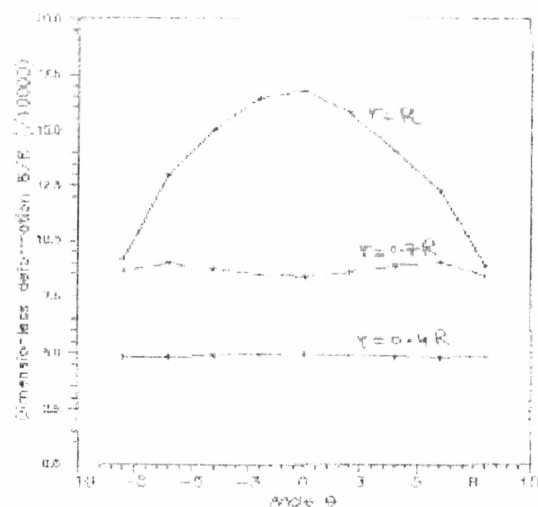


Fig. 9 The relation between dimensionless deflection and the angle θ under different radial distance of the roller.

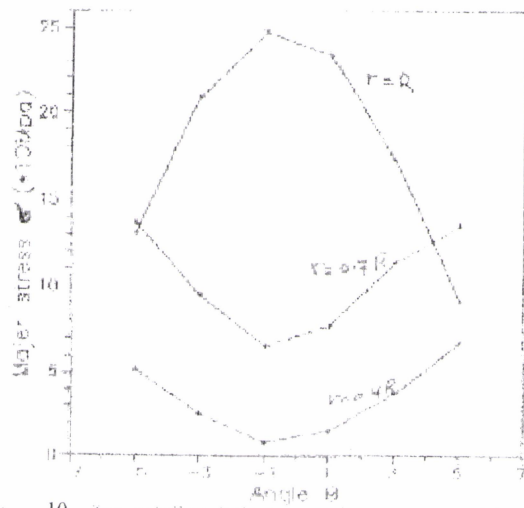


Fig. 10 The relation between major stresses and angle θ under different radio distance

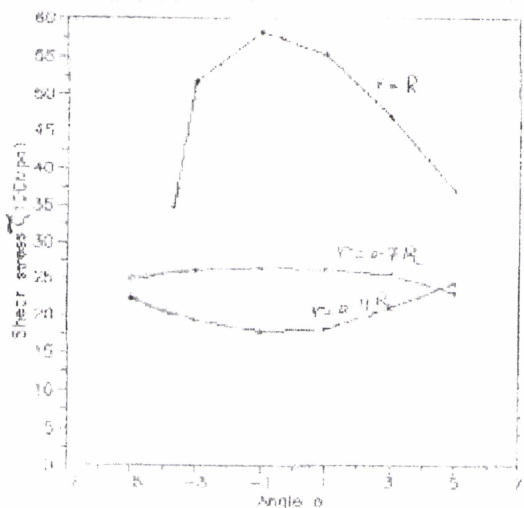


Fig. (11) The relation between shear stresses and angle θ under different radial distance

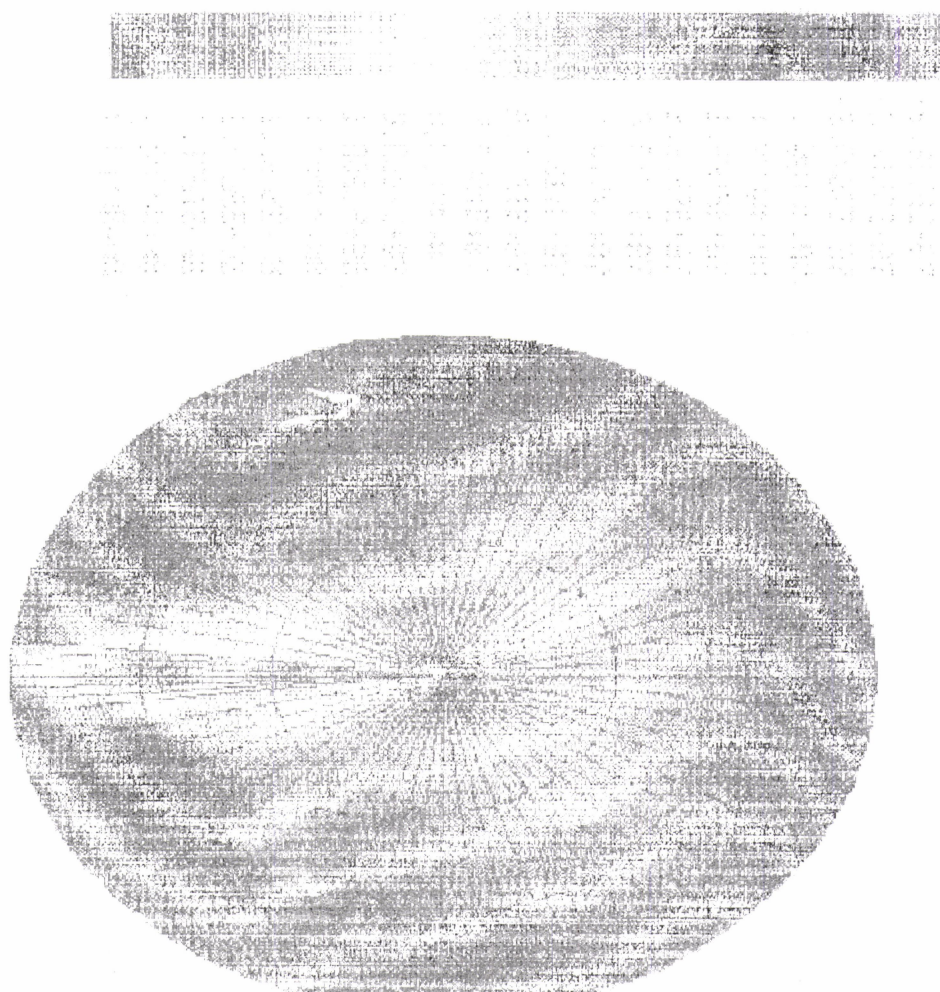


Fig.(12) finite stress plot for cold drawing

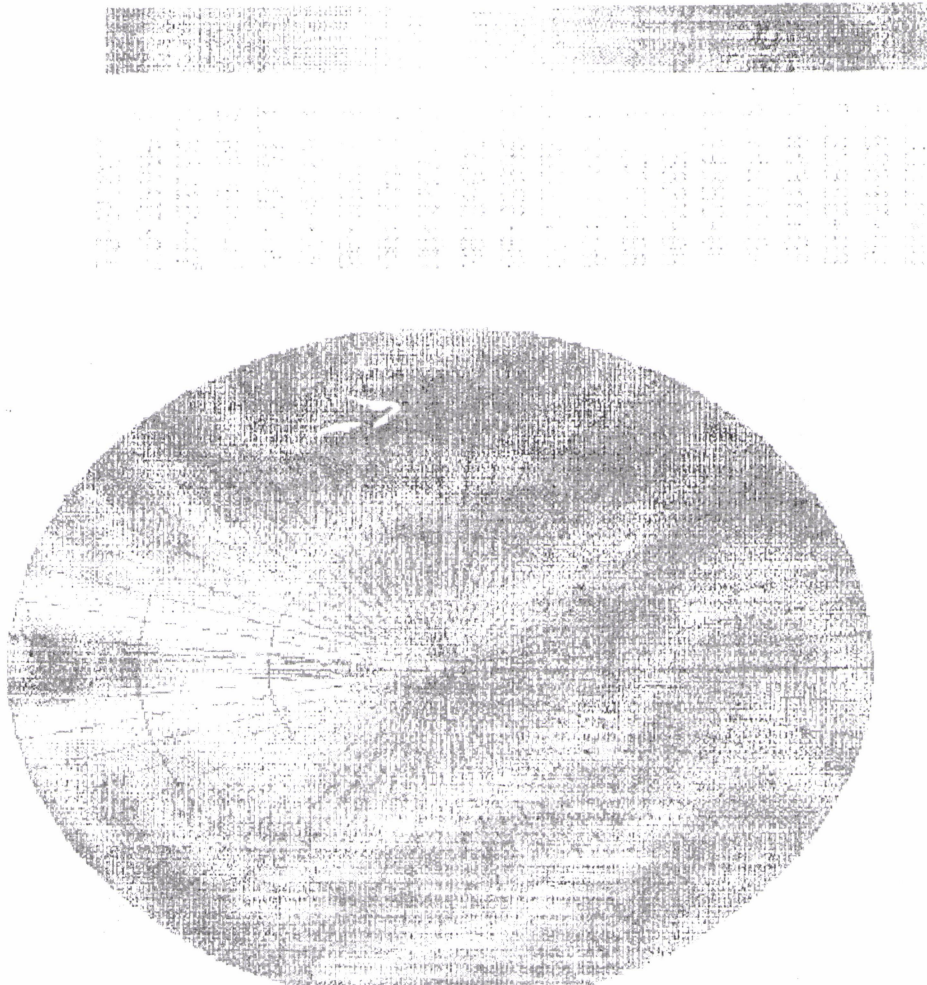


Fig.(13) : Shaded star shape for roller exhausts -

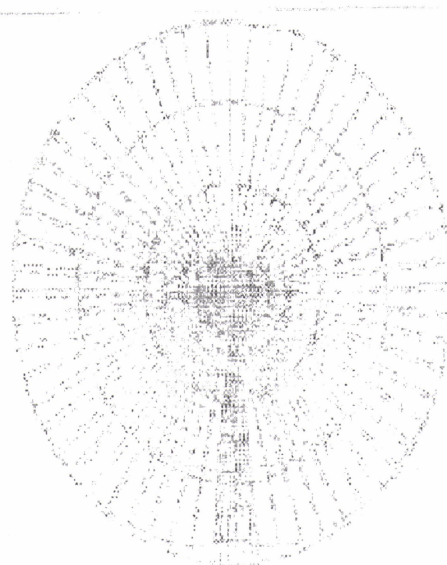


Fig. (14) Deformed shape for rollers cylinder for ($R=0.15\text{ m}$)

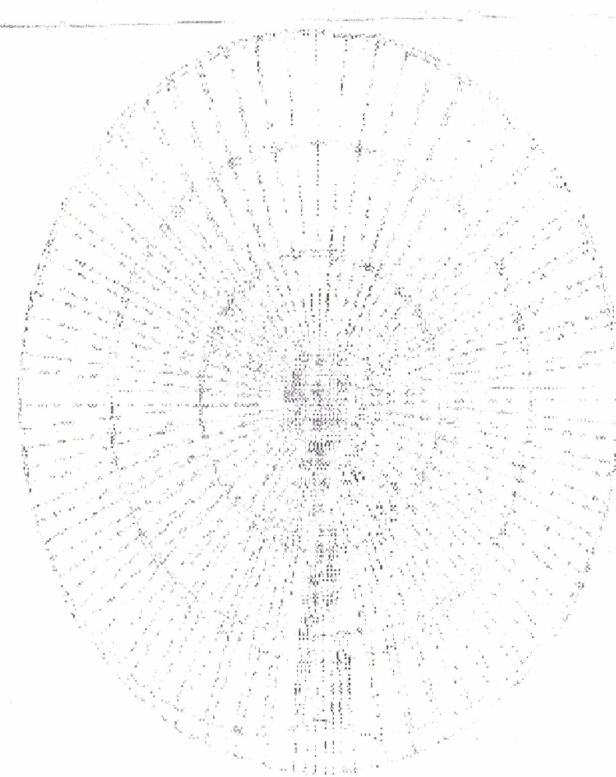


Fig. (15) Deformed shape for rollers cylinder for ($R=0.5\text{ m}$)

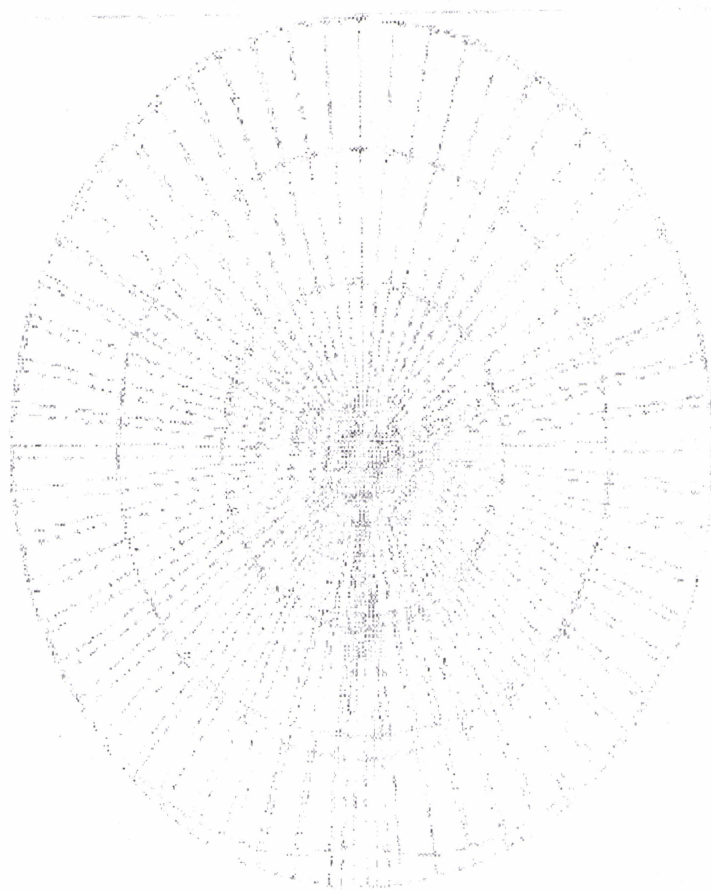


Fig. (16) deformed shape for rollers cylinder for (R=0.5 in)